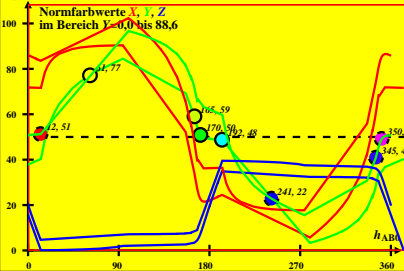
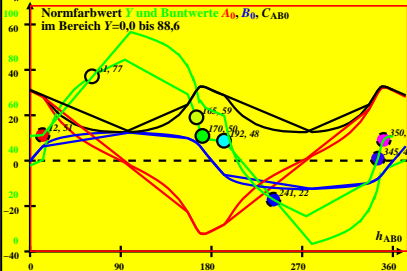


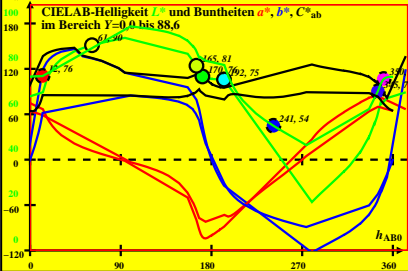
**CIE-P30-Daten von -Ostwald-Farben von maximalem Buntwert  $C_{AB}$**   
 $Y_w=88,6, Y_m=520\_770, B_m=380\_520, 2$  Berechnungsmethoden



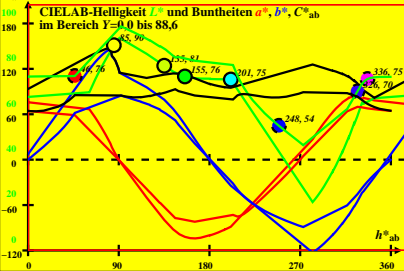
**CIE-P30-Daten von -Ostwald-Farben von maximalem Buntwert  $C_{AB}$**   
 $Y_w=88,6, Y_m=520\_770, B_m=380\_520, 2$  Berechnungsmethoden



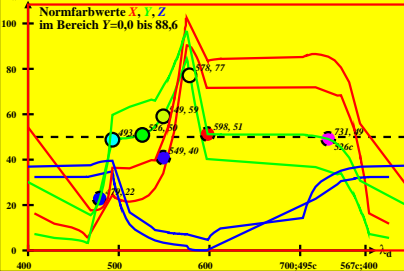
**CIE-P30-Daten von -Ostwald-Farben von maximalem Buntwert  $C_{AB}$**   
 $Y_w=88,6, Y_m=520\_770, B_m=380\_520, 2$  Berechnungsmethoden



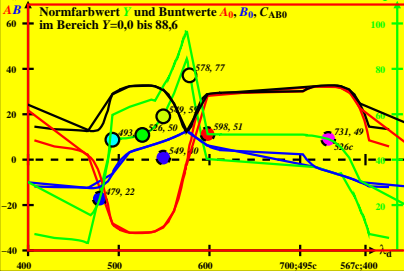
**CIE-P30-Daten von -Ostwald-Farben von maximalem Buntwert  $C_{AB}$**   
 $Y_w=88,6, Y_m=520\_770, B_m=380\_520, 2$  Berechnungsmethoden



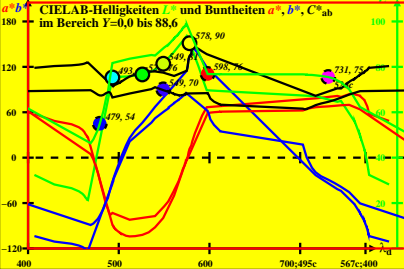
**CIE-P30-Daten von -Ostwald-Farben von maximalem Buntwert  $C_{AB}$**   
 $Y_w=88,6$ ,  $Y_m=520\_770$ ,  $B_m=380\_520$ , 2 Berechnungsmethoden



**CIE-P30-Daten von -Ostwald-Farben von maximalem Buntwert  $C_{AB}$**   
 $Y_w=88,6, Y_m=520\_770, B_m=380\_520, 2$  Berechnungsmethoden



**CIE-P30-Daten von -Ostwald-Farben von maximalem Buntwert  $C_{AB}$**   
 $Y_w=88,6, Y_m=520\_770, B_m=380\_520, 2$  Berechnungsmethoden



**CIE-P30-Daten von -Ostwald-Farben von maximalem Buntwert  $C_{AB}$**   
 $Y_w=88,6$ ,  $Y_m=520\_770$ ,  $B_m=380\_520$ , 2 Berechnungsmethoden

**ab** Normfarbwert  $Y$  und Farbarten  $a_0$ ,  $b_0$ ,  $c_{ab0}$   
 im Bereich  $Y=0,0$  bis  $88,6$

